

正員 鮎保恒一

1. まえがき

地震動により構造物基礎が運動を強制される場合、基礎に作用する外力として、波動土圧が考えられる。その波動土圧が如何なる形で伝播してきて基礎に作用するかは、地震における基礎の Response を研究する上に重要な工学的问题であると思われる。地震動による基礎、拳動特は Transient Motion を調べるのに、爆破地震動を利用する場合、先ず爆破地震動により伝播してくる波動土圧の性質を知つておく必要がある。波動土圧とは何をとどめていうちか、その定義についても少しがたうが先決問題で、いろいろの論があるがと思われるが、ここでは、土と媒体として Stress wave が伝播する時の上り Stress を波動土圧と考える。すなむち基礎が最初にうけた波動土圧は、そこにある土(被定)と Stress と同じ形及び大きさのものをうけたものと考える立場とする。

2. 実験

爆破筒と土圧計設置位置関係は Fig. 1 のとおり

土圧計は Diaphragm (Dia: 40 mm, 厚み 1.0 ~ 0.5 mm 鋼板) に Foil gauge をはつた抵抗線形形式とし、動量計で増幅、電磁式シロ (Galvanometer)、固有振動数 500 cps で記録した。爆破は TNT 爆薬を使用した。

実験場所地盤は 6.0 m 程度まで均質の粘土質地盤で、比重 2.64、含水比 30.0、標準貫入試験値 12. であった。

3. 結果及び考察

記録の一例を Fig. 2 に示す。その形は爆破筒からの距離によって變わり、それらの性質の一部について前に報告¹¹⁾したので省略し、ここでは、その形が無限弾性体内の空洞内壁に作用する圧力により伝播する Stress wave と Stress と似ていいのかどうか調べてみる。

無限弾性体内伝播する Stress wave の球面波動方程式は

$$\frac{\partial^2 u}{\partial r^2} + \frac{2}{r} \frac{\partial u}{\partial r} - \frac{2}{r^2} u = \frac{s}{\lambda + 2\mu} \frac{\partial^2 u}{\partial t^2} \quad (1)$$

$r = r'$: 球源(震源中心)から、 u : 变位、 s : 土の密度、 λ, μ : Lame's constants
の距離。

Normal radial stress σ_r , は

$$\sigma_r = s v^2 \left(\frac{\partial u}{\partial r} + \frac{2v}{1-v} \frac{u}{r} \right) \quad (2)$$

v : 弹性波の速度 $v^2 = (\lambda + 2\mu)/s$, ν : Poisson's ratio

u , σ_r \rightarrow Fourier transform を $\bar{u}(n)$, $\bar{\sigma}_r(n)$ として (1) 式を $\bar{u}(n)$ で表わし, $\bar{u}(n)$ を求める。 $\bar{u}(n) = A \frac{1+inr/v}{r^2} e^{-inr/v}$ $\quad (3)$

従って $\bar{\sigma}_r(n) = A \left(\frac{r}{r} n^2 - 4\mu \frac{1+inr/v}{r^3} \right) e^{-inr/v} \quad (4)$

球状震源(半径 $r = a$) の圧力を次式のように仮定する

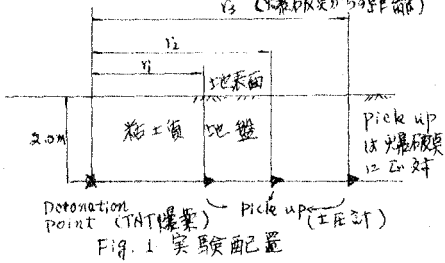


Fig. 1 実験配図

$$f(t) = -\sigma(t)_{r=a} = \begin{cases} C + e^{-\alpha t} & t \geq 0 \\ 0 & t < 0 \end{cases} \quad (5)$$

$r = a$ における境界条件(5)式から

$$A = \frac{C}{(n-i\alpha)^2} \left\{ \frac{r}{a} (n^2 - i2\sqrt{1-2\nu} w_0 n - 2(1-\nu)w_0^2) \right\}^{-1} e^{ina/v}$$

結果 $r = r$ における stress $\sigma(r, t)$, は

$$\begin{aligned} \sigma(r, t) &= \frac{C}{2\pi} R_c \left[\frac{a}{r} \int_0^\infty \frac{n^2 e^{inx}}{B(n)} dn - 2\sqrt{1-2\nu} w_0 \frac{a^2}{r^2} \int_0^\infty \frac{(nc)^{2nr}}{B(n)} dn - 2(1-\nu) w_0^2 \frac{a^3}{r^3} \int_0^\infty \frac{e^{inx}}{B(n)} dn \right] \quad (6) \\ &= 2C B(n) = (n-i\alpha)^2 \{ n - (\sqrt{1-2\nu} i + 1) w_0 \} \{ n - (\sqrt{1-2\nu} i - 1) w_0 \} \\ w_0 &= \frac{\sqrt{1-2\nu}}{1-\nu} \frac{v}{a}, \quad r = t - \frac{r-a}{v} \end{aligned}$$

式(6)、複素関数の無限積分は容易に計算出来る。 $\alpha = \frac{n w_0}{\sqrt{3}}$ とおいて計算を整理すると。

$$\begin{aligned} \sigma(r, t) &= \frac{C}{w_0} \frac{9}{(n^2 - 2n + 4)^2} \frac{e^{-\frac{n w_0 t}{\sqrt{3}}}}{3\sqrt{3}} \left[\frac{a}{r} \left\{ n \left(2 - \frac{n w_0 t}{\sqrt{3}} \right) (n^2 - 2n + 4) + 2n^2(1-n) \right\} \right. \\ &\quad - 2\frac{a^2}{r^2} \left\{ \left(1 - \frac{n w_0 t}{\sqrt{3}} \right) (n^2 - 2n + 4) + 2n(1-n) \right\} - 4\frac{a^3}{r^3} \left\{ \frac{1}{\sqrt{3}} (n^2 - 2n + 4) w_0^2 - 2(1-n) \right\} \\ &\quad + \frac{C}{w_0} \frac{9}{(n^2 - 2n + 4)^2} e^{-\frac{n w_0 t}{\sqrt{3}}} \left(\sin w_0 t \cdot \frac{2}{3} \left[-\frac{a}{r} \left\{ 1 - \frac{1}{3}(1-n)^2 + 2(1-n) \right\} \right. \right. \\ &\quad - \frac{a^2}{r^2} \left\{ 1 - \frac{1}{3}(1-n)^2 - 2(1-n) \right\} + \frac{a^3}{r^3} 2 \left\{ 1 - \frac{1}{3}(1-n)^2 \right\} \left. \right] \\ &\quad + \cos w_0 t \cdot \frac{2}{\sqrt{3}} \left[-\frac{a}{r} \left\{ 1 - \frac{1}{3}(1-n)^2 - \frac{2}{3}(1-n) \right\} \right. \\ &\quad \left. \left. + \frac{a^2}{r^2} \left\{ 1 - \frac{1}{3}(1-n)^2 + \frac{2}{3}(1-n) \right\} - \frac{a^3}{r^3} \frac{4}{3}(1-n) \right] \right) \quad (7) \end{aligned}$$

(7)式では

地表直下の Poisson's ratio, $\nu = 1/3$ はとつて今 $\nu = 1$ とおいて、 $r = 1.5a$, $2.0a$, $3.0a$ における理論解の $\sigma(r, t)$ の形を立がく Fig. 3 のようになる。

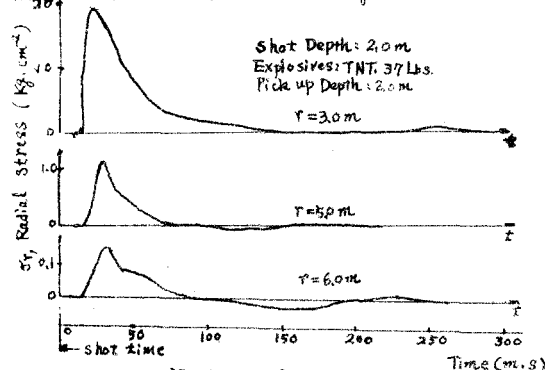


Fig. 2. 実験記録

実験記録による波動工圧は、5.0mまでは直接波によるとと思われたが、6.0mよりは 60 m/s 附近から他の波動（地表面又は地表面下直下地盤からの反射波、又は表面波等）が重なつて、さうに思われるが初期部分は直接波と思われる。実験は地表面下 2.0m における爆破震源、地表面等の影響をうけて單純に無限弾性体の条件とは同じ条件ではないが、近似的に理論解の波形と似ている。詳細に検討するためには、記録を spectrum analysis して対応する球状震源の半径を求めるべきだが、これらは後日まとめて報告したい。

③ 地震記録合講演会論文抄録集 125, 昭. 38. 9. 8.

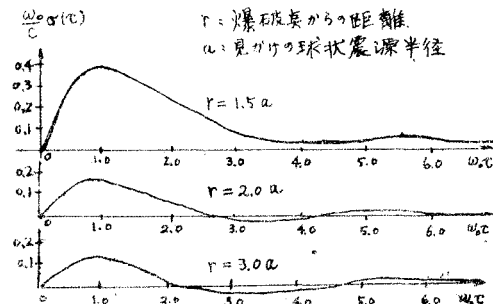


Fig. 3. 理論解による Stress の波形